

- 1^o Estimation by Observation
1. 求模糊图像的频谱图 $G(u, v)$ 中除了十字区域部分的灰度平均值
2. 构造一张图像 $f(x, y)$, 大小和模糊图像一致, 先用上一步求得到的灰度平均值填充, 然后按题干信息构造十字, 并求其频谱图 $F(u, v)$
3. 求 $H(u, v) = \frac{G(u, v)}{F(u, v)}$

Let the observed subimage be denoted by $g_s(x, y)$
Let the processed subimage be denoted by $\hat{f}_s(x, y)$
Assuming the effect of noise is negligible (strong signal area), then

$$H_s(u, v) = \frac{G_s(u, v)}{\hat{F}_s(u, v)}$$

2^o Estimation by Experimentation

$$H(u, v) = \frac{G(u, v)}{A} \rightarrow \text{冲激强度}$$

$$\hat{F} = \frac{G}{A} = F + \frac{N}{A} \rightarrow \text{dominate zero value}$$

4^o Wiener Filter

$$\begin{aligned} \hat{F}(u, v) &= \left[\frac{H^*(u, v)S_f(u, v)}{S_f(u, v)|H(u, v)|^2 + S_\eta(u, v)} \right] G(u, v) \\ &= \left[\frac{H^*(u, v)}{|H(u, v)|^2 + S_\eta(u, v)/S_f(u, v)} \right] G(u, v) \\ &= \boxed{\frac{1}{|H(u, v)|^2 + S_\eta(u, v)/S_f(u, v)}} G(u, v) \end{aligned}$$

$$S_\eta(u, v) = |N(u, v)|^2 = \text{噪声的功率谱 [见式]}$$

$$S_f(u, v) = |F(u, v)|^2 = \text{未退化图像的功率谱}$$

$$H(u, v) = \text{退化函数 } H^*(u, v) = H(u, v) \text{ 的复共轭}$$

DIP6 - 形态学

$$1^o \text{ 飾射} \quad (x, y) \rightarrow (-x, -y)$$

$$B = \{w | w = -b, b \in B\} \quad \Delta \rightarrow \nabla$$

$$2^o \text{ Fit: 全为 1 Hit: 至少有 1 Miss: 全 0}$$

3^o 膨胀 Dilation

$$f \oplus s = g(x, y) = \begin{cases} 1 & \text{if } s \text{ hit } f \\ 0 & \text{otherwise} \end{cases}$$

$$4^o \text{ 腐蚀 } f \ominus s = g(x, y) = \begin{cases} 1 & \text{if } s \text{ fit } f \\ 0 & \text{otherwise} \end{cases}$$

5^o 开 open

$$f \circ s = (f \oplus s) \ominus s$$

Opening

- A is a subset of A

- If C is a subset of D, then C B is a subset of D B

- (A B) B=A B

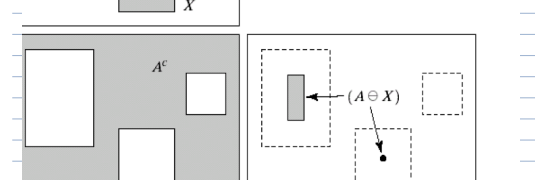
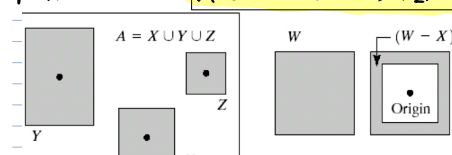
Closing

- A is a subset of A B

- If C is a subset of D, then C B is a subset of D B

- (A B) B=A B

$$7^o \text{ Hit or Miss } A \otimes B = (A \ominus X) \cap [A^c \ominus (W-X)]$$



DIP7 - 形态学 2

$$1^o \text{ 边缘提取 } \beta(A) = A - (A \ominus B)$$

$$2^o \text{ Region Filling } X_k = (X_{k-1} \oplus B) \cap A \rightarrow \text{边界}$$

$$3^o \text{ 连通部, 分寻找 } X_k = (X_{k-1} \oplus B) \cap A$$

$$4^o \text{ Thinning } \text{细化 } A \ominus B = A - (A \otimes B) = A \cap (A \ominus B)$$

$$5^o \text{ Thickening } \text{增厚 } \text{Thicken } A = C^c$$

$$\text{If } C = A^c. \text{ Then } A \cdot B = A \cap (A \ominus B)$$

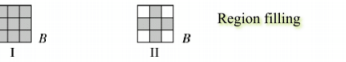
$$6. \text{ Skeleton } \text{骨架 } S_k(A) = (A \ominus KB) - (A \ominus KB) \cap KB$$

$$S(A) = \bigcup_{k \geq 0} S_k(A) \quad \text{重建 } A = \bigcup_{k \geq 0} (S_k(A) \oplus KB)$$

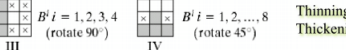
Summary

5 basic structuring elements

Dilation, Erosion, Opening, Closing, Skeletons, Boundary extraction



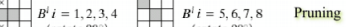
Convex hull



Thinning, Thickening



Pruning



DIP8 - Segmentation

1^o Segmentation algorithms generally are based on 2 basic properties of intensity values:

- Discontinuity: to partition an image based on abrupt changes in intensity (such as edges) (分)

- Similarity: to partition an image into regions that are similar according to a set of predefined criteria. (合)

2^o Point Detect

$$|\nabla I| \geq \text{threshold}$$

3^o line Detect

$$\begin{array}{ccccccccc} -1 & -1 & -1 & | & -1 & -1 & 2 & | & -1 \\ 2 & 2 & 2 & | & -1 & 2 & -1 & | & -1 \\ -1 & -1 & -1 & | & 2 & -1 & -1 & | & -1 \end{array} \quad \begin{array}{c} \text{Horizontal} \\ +45^\circ \\ \text{Vertical} \\ -45^\circ \end{array}$$

mask 作用完, R 值最大的那些点 最有可能落在 mask 定义的直线上

3^o Edges & Derivatives

- 寻找找边 二阶导找边方向

= 二阶导对噪声很敏感

Edge: 骨架 Boundary: 角度

因此在求导前做平滑处理很重要

那如何判定一个点是 edge point 呢?

1. 这个点的灰度过渡应显著强于背景 (用阈值去判断)

2. 点的二维一阶导数必须大于指定的阈值。

4^o 梯度

$$\nabla f \approx (Cx + Cy) \quad \alpha(x, y) = \arctan(\frac{Cy}{Cx})$$

Roberts

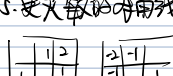
Prewitt



Sobel

$$\text{mag}(\nabla f) = |\nabla f| \approx |Cx| + |Cy|$$

5. 更灵敏的边缘检测



Laplacian (拉普拉斯算子)

很少单独使用, 因为: 对噪声敏感; 产生双边界; 无法找到边界方向

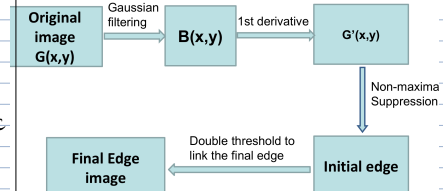
但是, 他寻找边界位置的能力很强 (zero-crossings property, 零交叉属性)

通常会将拉普拉斯算子和高斯平滑滤波器同时使用, 就是将拉普拉斯算子作用与高斯滤波器, Laplacian Of Gaussian (LoG)

$$\text{LoG: } \nabla^2 G(x, y) = \left[\frac{x^2 + y^2 - 2\sigma^2}{\sigma^4} \right] e^{-\frac{x^2+y^2}{2\sigma^2}}$$

Canny 边

融合信噪比, 灵活定位, 单响应, 一个边一个响应



$$\text{梯度 } G_x = \frac{1}{\sqrt{2}} \begin{bmatrix} -1 & 0 & 1 \end{bmatrix} \quad G_y = \frac{1}{\sqrt{2}} \begin{bmatrix} 0 & -1 & 1 \end{bmatrix}$$

或用 Sobel

非极大值抑制

1. 寻找最近 $\alpha(x, y)$ 的方向 d_x 。
2. 如果 $M(x, y)$ 的值至少小于 d_x 的两个邻居之一, 则令 $g_N(x, y) = 0$ (抑制); 否则, 令 $g_N(x, y) = M(x, y)$ 。这里 (x, y) 是非最大抑制后的图像。例如, 参考图 10.24(a)。今 x, y 在 n 处。

滞后阈值

4. 双阈值: 通常, 单阈值无法获得良好的效果, 因为完美的阈值很难选择, 双阈值是更好的方法: 选取 $th_1, th_2, th_1 = 0.4 * th_2$, 这样我们可以得到两个边缘图像: I_1, I_2 , I_2 由更大的阈值 th_2 获得, 消除了许多的噪点, 但丢失了一些有用的边缘; I_1 包含更多弯曲边缘, 因此我们可以将它们组合在一起。

5. 边缘链接: 扫描 I_2 , 当找到一个零点 p 时, 以 p 为起点, 跟踪边缘到其终点 q 在 I_1 中, 寻找相同位置 q 及其对应的零点, 则将其添加到 I_1 中, 并将其标记为 r , 然后以为起点, 重复步骤 1 直到找不到更多的点:

$$th_1 \rightarrow low \quad th_2 \rightarrow high \quad y_{th_1}, y_{th_2}$$

$$+th_1 = 0.4 * th_2$$

6. 中等梯度幅值到终点 q , I_2 中对应 q' 的梯度找起始点 y_{th_2} 加入 I_1 , 以新点为起点继续找

DIP9 - Segmentation

Hough Line

$$y = ax + b \Rightarrow b = -x/a + y;$$

$$\Rightarrow x \cos \theta + y \sin \theta = p$$

找一点 (x, y) 带入不同 θ, ρ

Hough Circle

快速: 梯度直方图、边缘画线、找圆心

已知圆心: 找半径

Global Threshold

$$\begin{aligned} T &\rightarrow C_1 < T, C_2 > T \Rightarrow M_1 = E(C_1), M_2 = E(C_2) \\ \rightarrow T &= \frac{M_1 + M_2}{2} \text{ until } \sigma T < T_0 \end{aligned}$$

单阈值仅适用于双峰直方图

Otsu (大津法)

最大化类内方差

是求图像全局阈值的最佳方法;

优点: 计算简单快速, 不受图像亮度和对比度的影响;

缺点: 对图像噪声敏感, 只能针对单一目标分割, 当目标和背景大小比例悬殊, 类间方差函数可能呈现双峰或者多峰的时候效果不好。

Basic Formulation

$$(a) \bigcup_{i=1}^n R_i = R$$

(b) R_i is a connected region, $i = 1, 2, \dots, n$

(c) $R_i \cap R_j = \emptyset$ for all i and $j, i \neq j$

(d) $P(R_i) = \text{TRUE}$ for $i = 1, 2, \dots, n$

(e) $P(R_i \cup R_j) = \text{FALSE}$ for $i \neq j$

区域生长

Region Growing (区域生长)

顾名思义, 区域生长是根据预定的条件将像素或子区域组成长区域的过程。

首先选取一个种子作为起始点, 然后根据制定的规则去生长, 需考虑连通性, 并且在当没有更多像素满足该区域中的条件时应停止生长

例如:

Region Growing (Example):

- Determine seed points to maximum gray level.

- Growing criteria:

- Gray level value difference (with respect to Seed Points) less than a threshold.

- Each candidate pixel should be N8 of region.

8邻域内, 生长准则是否待测点灰度值与生长点灰度值相差为1或0:

DIP10 Color Image Process

红 700nm 绿 546.1nm 蓝 435.8nm

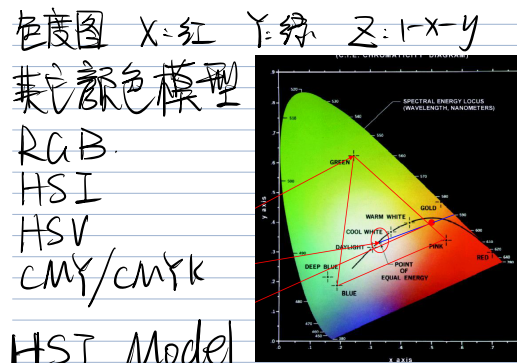
红+蓝=深红, 绿+蓝=青

三原色不能产生所有光谱

HSI Hue 色相 & 所含

Saturation 饱和度 (白光反射)

Brightness 强度



上: 明度
旋转: 色相
径向: 饱和度

RGB TO HSI (CRGB 归一化后)

$$H = \begin{cases} \theta & \text{if } B \leq G \\ 360 - \theta & \text{if } B > G \end{cases}$$

with

$$\theta = \cos^{-1} \left[\frac{\frac{1}{2}[(R-G)+(G-B)]}{[(R-G)^2 + (G-B)(B-G)]^{\frac{1}{2}}} \right]$$

$$S = 1 - \frac{3}{(R+G+B)} [\min(R, G, B)]$$

$$I = \frac{1}{3}(R+G+B)$$

HSI TO RGB

$$H = H * 360$$

$$RG \text{ sector} (0^\circ \leq H < 120^\circ)$$

$$B = I(1-S)$$

$$R = I \left[1 + \frac{S \cos H}{\cos(60^\circ - H)} \right]$$

$$G = 3 * I - (R+B)$$

$$GB \text{ sector} (120^\circ \leq H < 240^\circ)$$

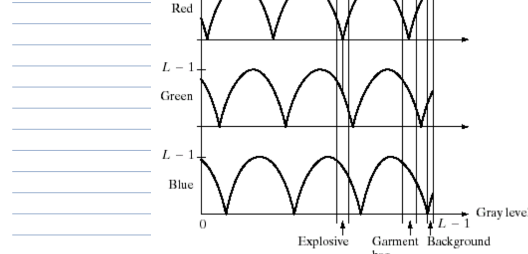
$$H = H - 120^\circ$$

$$R = I(1-S)$$

$$G = I \left[1 + \frac{S \cos H}{\cos(60^\circ - H)} \right]$$

$$B = 3 * I - (R+G)$$

物彩色



颜色分割: 将感兴趣外的颜色映射到中性色

Cube:

$$s_i = \begin{cases} 0.5 & \text{if } |r_{ij} - a_{ij}| > \frac{W}{2}, 1 < j < n \\ r_i & \text{otherwise} \end{cases}$$

Sphere:

$$s_i = \begin{cases} 0.5 & \text{if } \sum_{j=1}^n (r_{ij} - a_{ij})^2 > R_0^2 \\ r_i & \text{otherwise} \end{cases}$$

平滑锐化 ① RGB: 三通道并行做
② HSI: 只对 I 做处理

Generalization:

$$D(z, a) = [(z - a)^T C^{-1} (z - a)]^{\frac{1}{2}}$$

DIP1 - Representation & Description

Representation and description used to make the data useful to a computer.

1° 关注外部特征 (Boundary shape)

内部特征 (Regional Properties Color, Texture)

• 对尺寸、旋转、平移不变性

2° 链码 4链码 \rightarrow 8链码

• 生成码很长

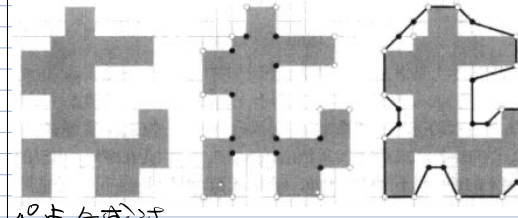
• 准确性取决于采样网格的间隔

• 可用一次差分代替

3° 多边形近似

对于闭合曲线 多边形线段数 = 边界点数, 近似精确

• 最小周长多边形



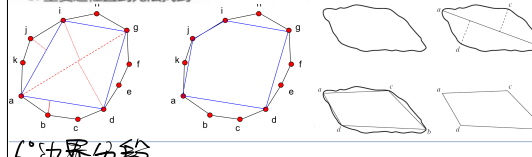
4° 混合合成法

1. 沿边界合并点, 直到距离超过预设阈值。
2. 当上述情况发生时, 存储线路的参数, 将距离设置为0。
3. 重复该过程, 沿边界合并新点, 直到距离再次超过阈值。
4. 在过程结束时, 相邻线段的交点形成多边形的顶点。

5° 边分叉法

将连续的段细分为两个部分, 直到满足指定的条件。

1. 找主轴
2. 找垂直于主轴且长度大于阈值的最长轴, 将边界分为两段, 最大值点定位一个顶点
3. 重复过程直到无法找到



6° 边界分段

H: 凸壳是包含 S 的最小凸集 H=S+D
进入凹缺和离开凸壳的点可以分割边界

7° 曲线拟合: 最小二乘

$$MSE = \frac{1}{2} \sum_{i=1}^N [y_i - f(x_i)]^2 \quad \text{最小}$$

$$y = f(x) = c_0 + c_1 x + c_2 x^2$$

可以通过最小二乘法来求解

$$E = Y - BC$$

$$MSE = \frac{1}{N} E^T E$$

Optimal

$$C = (B^T B)^{-1} (B^T Y)$$

B 边界描述子

方向: 长轴方向为物体方向 (找一条线 $\min \int \int f(x,y) dx dy$ 来判别角度)

偏心性 $P = \frac{\text{垂直长轴的短轴}}{\text{长轴}}$



包围叶椭圆子: 边界点 $(x_k, y_k) \rightarrow s_k = x_k + j y_k$
做的 DFT

区域描述子

Area: 区域像素数 / Perimeter 边界长度

紧致性: $\frac{4 \pi \text{Area}}{\text{Perimeter}^2}$ 拓扑: 连通数 \rightarrow 联通域数 - 孔洞数

二维曲柄长短: 对平移、旋转、缩放不变

特征空间

一组可能的模式构成了特征向量。

每个特征向量都是特征空间中的一个点。

相似的物体产生相似的测量结果 (特征向量)。特征空间中的邻近点对应于相似的对象。

特征空间中的距离与相似度有关。

属于同一类的点在特征空间中形成点云。

K-Means

1. 确定分类数 k。

2. 在独立特征空间中随机生成 k 个聚类起始点。

3. 将每个点分配给最近的聚类中心。

4. 重新计算新的聚类中心。

5. 重复前面的步骤 (3-5), 直到满足某些收敛标准 (通常是赋值没有改变)

DIP2 - Spatial

1° Log Transform $S = C \log(I + r)$

压缩范围

2° Power Law $S = C \cdot r^{\gamma}$

改善亮度: 整体灰度范围 RGB 比率

3° Gamma Correction

Device: $S = r^{\gamma}$ \Rightarrow Output $= r^{\gamma} \cdot r^{1/\gamma} = r$

Correction: $S = r^{1/\gamma}$ for CRT Display $\gamma = 1.8 \sim 2.5$

4° 直方图均衡化

$$S = T(r) \quad P_S = P_r \left| \frac{dP_r}{dr} \right| \Rightarrow S = (L-1) \int_0^r P_r(t) dt$$

DIP3 - Spatial Filter

Adaptive median Filter:

针对噪声概率较高的情况且不增大窗口的情况

算法: Level A: $A1 = z_{med} - z_{min}$ Z_{med} is an impulse? \rightarrow 判断中值是否为噪点

$A2 = z_{med} - z_{max}$ If $A1 > 0$ and $A2 < 0$, Go to level B

Else increase the window size

If window size $> S_{max}$ repeat level A \rightarrow 扩大窗口

Else output z_{med}

Level B: $B1 = z_{xy} - z_{min}$ Z_{xy} is an impulse? \rightarrow 若是噪点, 保持不变

$B2 = z_{xy} - z_{max}$ If $B1 > 0$ and $B2 < 0$, output z_{xy} \rightarrow 若是噪点, 输出中值

Laplacian $g(x, y) = f(x, y) + C [f(x^2, y^2)]$

$$\Rightarrow \begin{bmatrix} 1 & 1 & 1 \\ 1 & -8 & 1 \\ 1 & 1 & 1 \end{bmatrix} \quad \text{or} \quad \begin{bmatrix} 1 & 1 & 1 \\ 1 & 0 & 1 \\ 1 & 1 & 1 \end{bmatrix}$$

DIP4 - 形域

$$F(u, v) = \sum_{x=0}^{M-1} \sum_{y=0}^{N-1} f(x, y) e^{-j2\pi(\frac{ux}{M} + \frac{vy}{N})}$$

$$f(x, y) = \frac{1}{MN} \sum_{u=0}^{M-1} \sum_{v=0}^{N-1} F(u, v) e^{j2\pi(\frac{ux}{M} + \frac{vy}{N})}$$

$$f(x, y) * h(x, y) = \sum_{m=0}^{M-1} \sum_{n=0}^{N-1} f(m, n) h(x-m, y-n)$$

Steps:

1. Multiply the input image by $(-1)^{x+y}$ to center the transform.

2. Compute $F(u, v)$ the DFT of the image in (1).

3. Multiply $F(u, v)$ by a filter function $H(u, v)$.

4. Compute the inverse DFT of the result.

5. Obtain the real part of the result in (4).

6. Multiply the result in (5) with $(-1)^{x+y}$.

高斯低通

$$H(u) = A e^{-\frac{u^2}{2\sigma^2}}, \quad h(x) = \sqrt{2\pi} \sigma A e^{-\frac{x^2}{2\sigma^2}}$$

高斯高通

$$H(u) = A e^{-\frac{u^2}{2\sigma^2}} - B e^{-\frac{(u-\Delta)^2}{2\sigma^2}}, \quad H(u) = \sqrt{2\pi} \sigma A e^{-\frac{(u-\Delta)^2}{2\sigma^2}} - \sqrt{2\pi} \sigma B e^{-\frac{(u-\Delta)^2}{2\sigma^2}}$$

Butterworth

$$H(u) = \frac{1}{1 + (\frac{u}{B_0})^{2n}}, \quad n \uparrow \text{滤镜阶数} \quad D: [(u - \Delta)^2 + (v - \Delta)^2]^{1/2}$$

$$H(u) = \frac{1}{1 + (\frac{u}{B_0})^{2n}}$$

Gaussian

$$H(u) = e^{-\frac{u^2}{2\sigma^2}}, \quad h(x) = 1 - H(u)$$

Laplacian

$$\nabla^2 f \Rightarrow H = -4\pi^2 u^2 v^2$$